

# LBlock 算法的相关密钥 - 不可能差分攻击

黄永洪<sup>1</sup>, 郭建胜<sup>2,4</sup>, 罗 伟<sup>3</sup>

(1. 重庆邮电大学, 重庆 400065; 2. 解放军信息工程大学, 河南郑州 450004;  
3. 78179 部队, 四川成都 611830; 4. 信息保障技术重点实验室, 北京 100000)

**摘 要:** 该文研究了 LBlock 分组密码算法在相关密钥-不可能差分条件下的安全性. 利用子密钥生成算法的差分信息泄漏规律, 构造了多条低重量子密钥差分链, 给出了 15 轮相关密钥-不可能差分区分离器. 通过扩展区分器, 给出了 23 轮和 24 轮 LBlock 算法的相关密钥-不可能差分攻击方法. 攻击所需的数据复杂度分别为  $2^{65.2}$  和  $2^{65.6}$  个选择明文, 计算复杂度分别为  $2^{66.2}$  次 23 轮 LBlock 算法加密和  $2^{66.6}$  次 24 轮 LBlock 算法加密, 存储复杂度分别为  $2^{61.2}$  和  $2^{77.2}$  字节存储空间. 与已有结果相比, 首次将针对 LBlock 算法的攻击扩展到了 23 轮和 24 轮.

**关键词:** 分组密码; 密码分析; LBlock 算法; 相关密钥-不可能差分攻击

**中图分类号:** TN918.1      **文献标识码:** A      **文章编号:** 0372-2112 (2015)10-1948-06

**电子学报 URL:** <http://www.ejournal.org.cn>

**DOI:** 10.3969/j.issn.0372-2112.2015.10.011

## Related-Key Impossible Differential Attacks on LBlock

HUANG Yong-hong<sup>1</sup>, GUO Jian-sheng<sup>2,4</sup>, LUO Wei<sup>3</sup>

(1. Chongqing University of Posts and Telecommunications, Chongqing 400065, China;

2. The PLA Information Engineering University, Zhengzhou, Henan 450004, China;

3. The PLA Unit 78179, Chengdu, Sichuan 611830, China;

4. Science and Technology on Information Assurance Laboratory, Beijing 100000, China)

**Abstract:** In this paper, the strength of LBlock against related-key impossible differential attack is examined. Based on the differential information leakages in sub-key schedule, several sub-key differentials in low weight are constructed, and a 15-round related-key impossible differential distinguisher of LBlock is presented. By extending the distinguisher, related-key impossible differential attacks on 23-round LBlock and 24-round LBlock are presented. The data complexities of the attacks are  $2^{65.2}$  and  $2^{65.6}$  chosen-plain-text, respectively; the computing complexities of the attacks are  $2^{66.2}$  23-round LBlock encryptions and  $2^{66.6}$  24-round LBlock encryptions, respectively; the storage complexities of the attacks are  $2^{61.2}$  and  $2^{77.2}$  bytes of memory space, respectively. The cryptanalysis of reduced-round LBlock are first extended to 23-round and 24-round in this paper.

**Key words:** block cipher; cryptanalysis; LBlock; related-key impossible differential attack

## 1 引言

近年来, 为了满足资源受限环境对密码算法的应用需求, 各国研究人员提出了一系列轻量级密码算法, 如 Klein<sup>[1]</sup>, LED<sup>[2]</sup>, PRINTcipher<sup>[3]</sup>, Piccolo<sup>[4]</sup> 以及 PRINCE<sup>[5]</sup> 等. 作为分组算法设计的重要环节, 子密钥生成算法成为制约分组密码算法安全性的关键因素. 针对各种类型的密码算法, 研究人员提出了一系列相关密钥条件下的安全性分析成果<sup>[6-8]</sup>.

作为轻量级分组密码算法的典型代表, LBlock 算法由我国学者吴文玲等人<sup>[9]</sup>于 2011 年 ANCS 会议上提出. 针对该算法的安全性, 设计者构造了 14 轮的不可能差

分区分离器, 给出了 20 轮的不可能差分攻击结果<sup>[9]</sup>; Liu 等人<sup>[10]</sup>利用不可能差分分析方法对 21 轮算法进行攻击; Ferhat Karakoe 等人<sup>[11]</sup>对 21 轮和 22 轮算法分别进行攻击, 但攻击所需计算量较高; 郭等人<sup>[12]</sup>通过扩展 14 轮不可能差分区分离器, 减小了攻击 22 轮算法所需的复杂度; Marine Minier 等人<sup>[13]</sup>利用两种密钥差分给出了 22 轮算法的相关密钥-不可能差分攻击.

本文研究了 LBlock 算法的相关密钥-不可能差分性质. 在构造 15 轮相关密钥-不可能差分区分离器的基础上, 首次给出 23 轮和 24 轮的 LBlock 算法的相关密钥-不可能差分分析方法.

表 1 给出了针对 LBlock 算法的攻击情况.

表 1 LBlock 算法的攻击对比

| 攻击轮数 | 攻击方法       | 数据复杂度      | 计算复杂度       | 存储复杂度      | 出处   |
|------|------------|------------|-------------|------------|------|
| 20   | 不可能差分      | $2^{63}$   | $2^{72.7}$  | \          | [9]  |
| 21   | 不可能差分      | $2^{62.5}$ | $2^{73.7}$  | \          | [10] |
| 21   | 不可能差分      | \          | $2^{79.28}$ | \          | [11] |
| 22   | 不可能差分      | $2^{62.5}$ | $2^{63.5}$  | \          | [12] |
| 22   | 相关密钥-不可能差分 | $2^{68}$   | $2^{70}$    | \          | [13] |
| 23   | 相关密钥-不可能差分 | $2^{65.2}$ | $2^{66.2}$  | $2^{61.2}$ | 本文   |
| 24   | 相关密钥-不可能差分 | $2^{65.6}$ | $2^{66.6}$  | $2^{77.2}$ | 本文   |

## 2 相关知识

### 2.1 符号约定

本文常用符号约定如下:

|          |                               |
|----------|-------------------------------|
| $K$      | 算法主密钥                         |
| $RK^i$   | 第 $i$ 轮子密钥 $RK^i$             |
| $K^i$    | 经过 $i$ 轮变换后, 寄存器中密钥的取值        |
| $L_j^i$  | 第 $i$ 轮输入左半部分第 $j$ 个 4bit 数据块 |
| $k_i$    | 主密钥 $K$ 的第 $i$ 比特             |
| $RK_j^i$ | 第 $i$ 轮第 $j$ 个 4bit 密钥块       |
| $k_i^j$  | $K^j$ 的第 $i$ 比特               |
| $R_j^i$  | 第 $i$ 轮输入右半部分第 $j$ 个 4bit 数据块 |

本文约定所有数据左侧为最高位, 右侧为最低位, 且最低位从 0 开始计数.

### 2.2 LBlock 算法介绍

LBlock 算法采用 Feistel 结构, 分组长度为 64bit, 密钥长度为 80bit, 设计轮数为 32 轮, 算法圈函数和  $F$  函数结构如图 1(a) 和图 1(b) 所示. 具体细节可参考文献 [9].

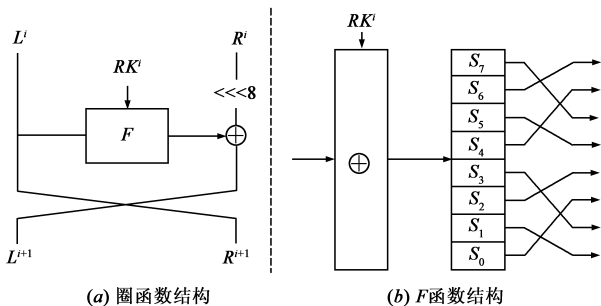


图 1 LBlock 算法结构

## 3 相关密钥-不可能差分区分离器

### 3.1 子密钥差分链

LBlock 子密钥生成算法每得到 1 轮圈子密钥至多

有  $k_{79-76}, k_{75-72}, k_{50-46}$  共 13 比特参与更新, 因此算法的差分扩散效率较低.

当  $\Delta K = 020 \cdots 0_{16}$  时, 子密钥生成算法第 12 轮输入差分为  $\Delta K^{11} = 010 \cdots 0_{16}$ , 即  $S_8$  输入差分重量为 1. 根据  $S_8$  的差分分布表, 构造出如表 2 所示的 6 条低重量密钥差分链.

第 1 条密钥差分链中,  $k_{76} k_{75} k_{74} k_{73}$  取值为 6, 7, 12, 13,  $S_8$  输出数据对应值为 0, 6, 2, 4, 第 12 轮子密钥差分  $\Delta RK^{12} = 0600, 0000_{16}$ . 子密钥生成算法第 23 轮输入差分为  $\Delta K^{22} = 030 \cdots 0_{16}$ , 根据  $S_8$  的差分分布,  $x_1$  可能的取值有 1, 5, 9, 13. 结合第 12 轮子密钥取值情况, 得到表 3 对应关系:

表 3  $x_i$  取值情况

| $x_i$   | $k_{46}^{22} k_{76} k_{75} k_{74} k_{73}$ | $x_i$    | $k_{46}^{22} k_{76} k_{75} k_{74} k_{73}$ |
|---------|---|----------|---|
| 13      | 00110, 00111                              | 2        | 01010, 01011                              |
| 9       | 01100, 01101                              | $x_3$ 6  | 11010, 11011                              |
| $x_1$ 1 | 10110, 10111                              | 13       | 01000, 01001                              |
| 5       | 11100, 11101                              | $x_4$ 5  | 11000, 11001                              |
| 6       | 00100, 00101                              | 8        | 00010, 00011                              |
| 15      | 01110, 01111                              | $x_5$ 10 | 10010, 10011                              |
| $x_2$ 2 | 10100, 10101                              | 10       | 00000, 00001                              |
| 7       | 11110, 11111                              | $x_6$ 8  | 10000, 10001                              |

### 3.2 15 轮相关密钥-不可能差分区分离器

根据表 1 所示的 6 条密钥差分链, 选取前 24 轮非零 4bit 块最多的第 6 条密钥差分链, 以 (00000000, 00000000x) 为输入差分构造第 5 轮到第 11 轮的 7 轮相关密钥-差分特征, 以 (00000000, 000000000) 为输出差分构造解密方向第 19 轮到第 12 轮的 8 轮相关密钥-差分特征.

如图 2 所示, 加密方向 7 轮相关密钥-差分特征输出差分(???? \* ?? \* 0???) 第 10 个 4bit 块为“\*”, 解密方向 8 轮相关密钥-差分特征输出差分(? \*? \*? 0? \*, ????????) 第 10 个 4bit 块为“0”, 构成矛盾, 即图 2 给出了 1 个 15 轮(第 5 轮到第 19 轮)相关密钥-不可能差分区分离器.

进一步观察表 2, 第 6 条密钥差分非零块位置涵盖了前 5 条密钥差分链所有非零块位置, 因此利用前 5 条密钥差分链均可构造 15 轮相关密钥-不可能差分区分离器:

$$(00000000, 0000000x) \xrightarrow{5 \text{ 到 } 11 \text{ 轮}} \times \xleftarrow{19 \text{ 到 } 12 \text{ 轮}} (00000000, 00000000)$$

表 2 LBlock 算法的 6 条低重量密钥差分链

| 轮次 | 密钥差分链 1                | 密钥差分链 2                | 密钥差分链 3                | 密钥差分链 4                | 密钥差分链 5                | 密钥差分链 6                |
|----|------------------------|------------------------|------------------------|------------------------|------------------------|------------------------|
| 1  | 02000000               | 02000000               | 02000000               | 02000000               | 02000000               | 02000000               |
| 2  | 00000000               | 00000000               | 00000000               | 00000000               | 00000000               | 00000000               |
| 3  | 00000008               | 00000008               | 00000008               | 00000008               | 00000008               | 00000008               |
| 4  | 00000000               | 00000000               | 00000000               | 00000000               | 00000000               | 00000000               |
| 5  | 00000000               | 00000000               | 00000000               | 00000000               | 00000000               | 00000000               |
| 6  | 00000400               | 00000400               | 00000400               | 00000400               | 00000400               | 00000400               |
| 7  | 00000000               | 00000000               | 00000000               | 00000000               | 00000000               | 00000000               |
| 8  | 00000000               | 00000000               | 00000000               | 00000000               | 00000000               | 00000000               |
| 9  | 00020000               | 00020000               | 00020000               | 00020000               | 00020000               | 00020000               |
| 10 | 00000000               | 00000000               | 00000000               | 00000000               | 00000000               | 00000000               |
| 11 | 00000000               | 00000000               | 00000000               | 00000000               | 00000000               | 00000000               |
| 12 | 06000000               | 02000000               | 03000000               | 07000000               | 0b000000               | 0f000000               |
| 13 | 00000000               | 00000000               | 00000000               | 00000000               | 00000000               | 00000000               |
| 14 | 00000018               | 00000008               | 0000000c               | 0000001c               | 0000002c               | 0000003c               |
| 15 | 00000000               | 00000000               | 00000000               | 00000000               | 00000000               | 00000000               |
| 16 | 00000000               | 00000000               | 00000000               | 00000000               | 00000000               | 00000000               |
| 17 | 00000c00               | 00000400               | 00000600               | 00000z00               | 00001600               | 00001d00               |
| 18 | 00000000               | 00000000               | 00000000               | 00000000               | 00000000               | 00000000               |
| 19 | 00000000               | 00000000               | 00000000               | 00000000               | 00000000               | 00000000               |
| 20 | 00060000               | 00020000               | 00030000               | 00070000               | 000b0000               | 000f0000               |
| 21 | 00000000               | 00000000               | 00000000               | 00000000               | 00000000               | 00000000               |
| 22 | 00000000               | 00000000               | 00000000               | 00000000               | 00000000               | 00000000               |
| 23 | 0x <sub>1</sub> 000000 | 0x <sub>2</sub> 000000 | 0x <sub>3</sub> 800000 | 0x <sub>4</sub> 800000 | 0x <sub>5</sub> 800000 | 0x <sub>6</sub> 800000 |
| 24 | 00000000               | 00000000               | 00000000               | 00000000               | 00000000               | 00000000               |

记“\*”表示非零 4bit 块，“?”表示未知 4bit 块，“x”表示已知 4bit 块。

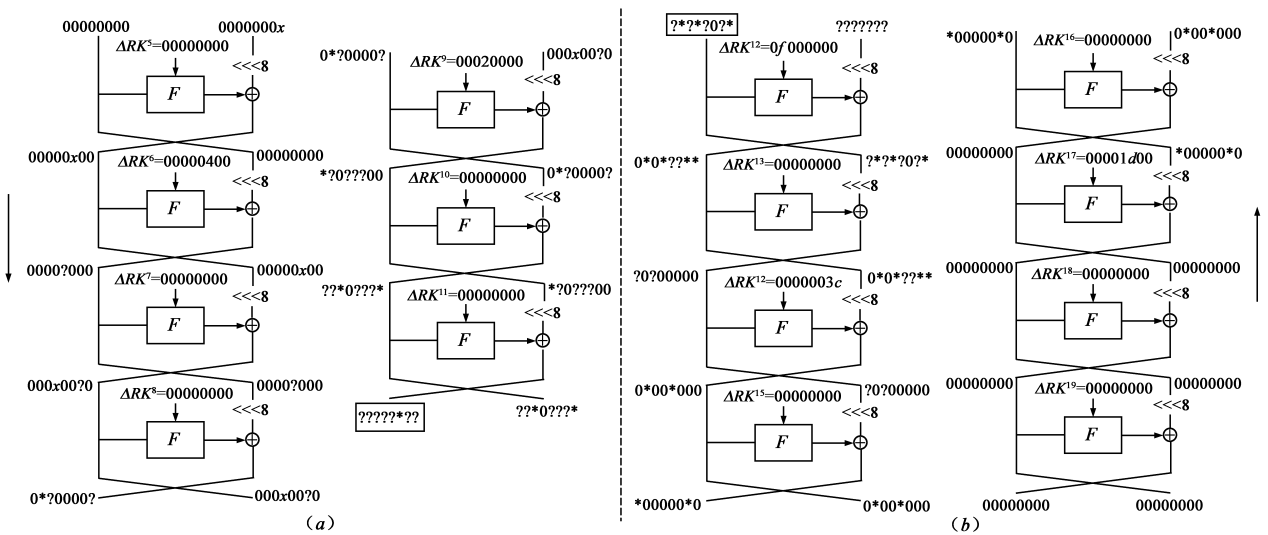


图 2 15 轮相关密钥-不可能差分区分器

### 4 相关密钥-不可能差分攻击算法

15 轮相关密钥-不可能差分区分器输入差分为  $(00000000, 0000000x)$ ，在表 2 所示的 6 条密钥差分链条件下逆向扩展 4 轮，得到明文差分为  $(0c_1c_30000c_4,$

$0c_2c_5x0c_60c_7)$ ，如图 3 所示。

#### 4.1 23 轮 LBlock 的相关密钥-不可能差分攻击

15 轮区分器在表 2 所示的第 1 条和第 6 条密钥差分链条件下，分别正向扩展 4 轮，如图 4 所示，得到 23 轮 LBlock 算法加密输出差分为  $(d_400d_50d_6d_20, 00d_30000d_1)$ 。

对比图 4(a)和图 4(b)可知,两条差分链正向扩展输出差分形式相同.根据表 2 中 6 条密钥差分链第 20 轮到第 23 轮密钥差分非零块的位置,对 15 轮区分器正向扩展 4 轮后输出差分均为  $(d_4 00 d_5 0 d_6 d_2 0, 00 d_3 0000 d_1)$ .

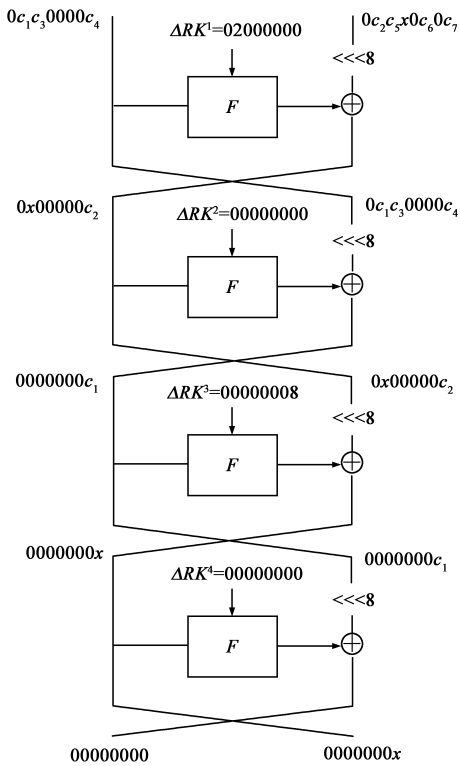


图3 逆向扩展4轮

结合图 3 和图 4 的扩展情况,选取密钥差分  $\Delta K = 020 \dots 0_{16}$  给出攻击算法 1.

**攻击算法 1**

Step1 选择  $n$  个形如  $(C * * CCCC *, C * * * C * C *)$  的明文结构,其中“ $C$ ”表示该 4bit 块取固定值,“ $*$ ”表示取遍  $2^4$  个值.利用  $n$  个明文结构构造出  $2^{63} n$  个明文对.

Step2 利用关联密钥  $K, K'$  加密明文,排除 23 轮加密后密文差分第 1,2,3,4,6,7,8,11,13,14 块非 0 的明文对,剩余  $2^{63} n \times 2^{-40} = 2^{23} n$  个明文对.

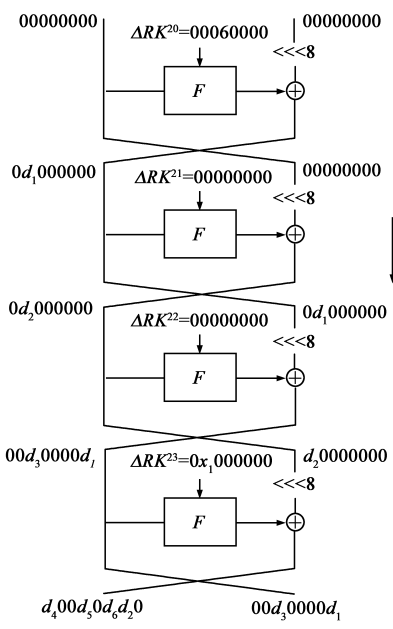
Step3 猜测  $K_0^1, K_5^1, K_6^1$ . 对明文对进行第 1 轮加密,排除输出差分左半部分第 1,2,3,4,5,7 块非 0 的明文对,剩余  $2^{23} n \times 2^{-12} = 2^{11} n$  明文对.

Step4 猜测  $K_0^2 \oplus L_0^2, K_6^2 \oplus L_6^2$ . 类似 Step3 剩余明文对  $2^{11} n \times 2^{-8} = 2^3 n$ .

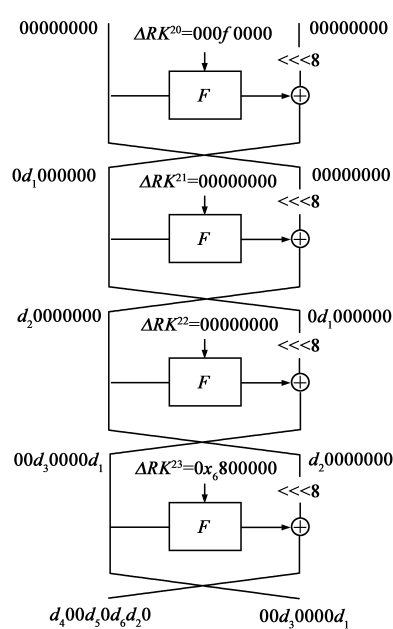
Step5 猜测  $K_0^3 \oplus L_0^3$ . 类似 Step3 剩余明文对  $2^3 n \times 2^{-4} = 2^{-1} n$ .

Step6 猜测  $K_0^4 \oplus L_0^4$ . 类似 Step3 剩余明文对数量为  $2^{-1} n \times 2^{-4} = 2^{-5} n$ .

Step7 猜测  $K_0^{23}, K_5^{23}, K_6^{23}$ . 对 28bit 数据猜测值对应的密文对进行第 23 轮部分解密,排除第 22 轮输出差分右半部分第 0,1,2,3,4,5,6 块不为 0 的密文对.第 1,2 条密钥差分链剩余密文对  $2^{-5} n \times 2^{-12} \times 4 = 2^{-15} n$ ,第 3~6 条密钥差分链剩余密文对  $2^{-5} n \times 2^{-12} \times 2 = 2^{-16} n$ ,分别标记每条密钥差分链剩余密文对解密时对应  $x_i$  取值.



(a) 第 1 条密钥差分链条件下正向扩展 4 轮



(b) 第 6 条密钥差分链条件下正向扩展 4 轮

图4 正向扩展 4 轮

Step8 猜测  $K_7^{22} \oplus L_7^{22}$ . 对 40bit 数据猜测值剩余的密文对分别进行第 22 轮部分解密, 排除第 21 轮输出差分右半部分第 0, 1, 2, 3, 4, 5, 7 块不为 0 的密文对. 第 1, 2 条密钥差分链剩余密文对  $2^{-15} n \times 2^{-4} = 2^{-19} n$ , 第 3~6 条密钥差分链剩余密文对  $2^{-16} n \times 2^{-4} = 2^{-20} n$ .

Step9 猜测  $K_6^{21} \oplus L_6^{21}$ . 对剩余密文对分别进行第 21 轮部分解密, 排除第 20 轮输出差分右半部分不为 0 的密文对. 第 1, 2 条密钥差分链剩余密文对  $2^{-19} n \times 2^{-4} = 2^{-23} n$ , 第 3~6 条密钥差分链剩余密文对数量为  $2^{-20} n \times 2^{-4} = 2^{-24} n$ .

Step10 猜测  $K_4^{20} \oplus L_4^{20}$ . 对剩余密文对分别进行第 20 轮部分解密, 排除第 19 轮输出差分右半部分不为 0 的密文对. 若有密文对剩余, 根据不可能差分性质, 猜测一定错误.

取  $n = 33.2$  时,  $2^{52} \times (1 - 2^{-4})^{2^{-24} n} < 1$  时, 算法能够得到 52bit 猜测数据的唯一正确值.

**定理 1** 攻击算法 1 数据复杂度为  $2^{65.2}$  个选择明文; 计算复杂度为  $2^{66.2}$  次 23 轮 LBlock 算法加密; 存储复杂度为  $2^{61.2}$  字节.

**证明**  $n = 2^{33.2}$  时, Step1 的数据复杂度为  $2^{32} n = 2^{65.2}$  个选择明文. Step2 利用关联密钥加密需要  $2 \times 2^{65.2} = 2^{66.2}$  次 23 轮 LBlock 算法加密, 存储  $2^{23} n = 2^{56.2}$  个明文对及其对应密文对需要  $2^{56.2} \times 4 \times 8 = 2^{61.2}$  字节.

Step3, Step4, Step7 需要猜测多个 4bit 数据, 采用“Early Abort”技术<sup>[14]</sup>, 以 Step3 为例: 首先猜测  $K_0^1$ , 判断  $S_0(L_0^1 \oplus K_0^1) \oplus S_0(L_0^1 \oplus \Delta L_0^1 \oplus K_0^1)$  与  $\Delta R_0^1$  是否相等, 排除不符合的明文对; 其次猜测  $K_5^1$ , 判断  $S_5(L_5^1 \oplus K_5^1) \oplus S_5(L_5^1 \oplus \Delta L_5^1 \oplus K_5^1)$  与  $\Delta R_5^1$  是否相等, 排除不符合的明文对; 最后猜测  $K_6^1$ , 判断  $S_6(L_6^1 \oplus K_6^1) \oplus S_6(L_6^1 \oplus \Delta L_6^1 \oplus K_6^1)$  与  $\Delta R_6^1$  是否相等, 排除不符合的明文对. 共需  $2 \times (2^{56.2} \times 2^4 + 2^{52.2} \times 2^8 + 2^{48.2} \times 2^{12}) / 8 / 23 \approx 2^{55.3}$  次 23 轮 LBlock 算法加密. 由此分析得到, Step3~Step11 所需的计算复杂度总和远小于加密选择明文所需的计算复杂度, 即攻击算法 1 的计算复杂度约为  $2^{66.2}$  次 23 轮 LBlock 算法加密. 证毕

#### 4.2 24 轮 LBlock 的相关密钥-不可能差分攻击

对图 4 所示的差分向下扩展 1 轮, 得到输出差分为  $(d_3 d_8 d_7 0 d_9 d_1 0 d_{10}, d_4 0 0 d_5 0 d_6 d_2 0)$  的 15 轮区分器. 类似于攻击算法 1, 对差分为  $(0 c_1 c_3 0 0 0 0 c_4, 0 c_2 c_5 x 0 c_6 0 c_7)$  的明文对进行加密, 筛选出差分为  $(d_3 d_8 d_7 0 d_9 d_1 0 d_{10}, d_4 0 0 d_5 0 d_6 d_2 0)$  的密文对, 攻击 24 轮 LBlock 算法总共猜测 17 块, 要排除错误猜测需  $2^{68} \times (1 - 2^{-4})^{2^{-24} m} < 1$ . 取  $m = 2^{33.6}$ , 能够得到 68bit 猜测数据正确值. 攻击 24 轮 LBlock 算法的数据复杂度为  $2^{65.6}$  个选择明文; 计算复杂

度为  $2^{66.6}$  次 24 轮 LBlock 算法加密; 存储复杂度为  $2^{39} m \times 4 \times 8 = 2^{77.2}$  字节.

## 5 结束语

本文利用 LBlock 子密钥生成算法差分扩散不充分的信息泄漏规律, 构造了多条低重量密钥差分链, 给出了 15 轮相关密钥-不可能差分区分离器, 首次给出了 23 轮和 24 轮 LBlock 算法的攻击方法.

### 参考文献

- [1] Gong Z, Nikove S, Law Y W. KLEIN: a new family of lightweight block ciphers [J]. RFID Security and Privacy, 2012, LNCS 7055: 1 - 18.
- [2] Guo J, Peyein T, Poschmann A, et al. The LED block cipher [A]. CHES 2011 [C]. Nara, Japan, LNCS 6917, 2011. 326 - 341.
- [3] Knudsen L, Leander G, Poschmann A, et al. PRINTcipher: a block cipher for IC-Printing [A]. CHES 2010 [C]. Santa Barbara, USA, LNCS 6225, 2010. 16 - 32.
- [4] Shibutani K, Isobe T, Hiwatari H, et al. Piccolo: an ultra-lightweight block cipher [A]. CHES 2011 [C]. Nara, Japan, LNCS 6917, 2011. 342 - 357.
- [5] Borghoff J, Canteaut A, Güneysu T, et al. PRINCE-a low-latency block cipher for pervasive computing applications [A]. ASIACRYPT 2012 [C]. Beijing, China, LNCS 7658, 2012. 208 - 225.
- [6] 罗伟, 郭建胜. Cobra-H64/128 算法的相关密钥-差分攻击 [J]. 电子学报, 2013, 41(8): 1569 - 1573.  
LUO Wei, GUO Jiansheng. Related-key differential attack on Cobra-H64 [J]. Acta Electronica Sinica, 2013, 41(8): 1569 - 1573. (in Chinese)
- [7] Hu Z, Qin Z. Related key impossible differential cryptanalysis of AES-256 [J]. International Journal of Advancements in Computing Technology, 2012, 4(3): 91 - 98.
- [8] Ding Lin, Guan Jie. Related-key chosen IV attack on K2 [J]. Chinese Journal of Electronics, 2011, 20(2): 365 - 369.
- [9] Wu W L, Zhang L. LBlock: a lightweight block cipher [A]. ANCS 2011 [C]. Nerja, Spain, LNCS 6715, 2011. 327-344.
- [10] Liu Y, Gu D, Liu Z, et al. Impossible differential attacks on reduced-round LBlock [A]. ISPEC 2012 [C]. Hangzhou, China, LNCS 7232, 2012. 97 - 108.
- [11] Karakoc F, Demirci H, Harmanca E. Impossible differential cryptanalysis of reduced-round LBlock [A]. WISTP 2012 [C]. Egham, UK, LNCS 7322, 2012. 179 - 188.
- [12] 郭建胜, 罗伟, 张磊, 等. LBlock 码的不可能差分密码性能分析 [J]. 电子与信息学报, 2013, 35(6): 1516 - 1519.  
Guo Jiansheng, Luo Wei, Zhang Lei, et al. Impossible differential cryptanalysis of LBlock code [J]. Journal of Electronics

& Information Technology, 2013, 35 (6): 1516 – 1519. (in Chinese)

- [13] Minier M, Naya-plasencia M. A related key impossible differential attack against 22 rounds of the lightweight block cipher LBlock[J]. Information Processing Letters, 2012, 112 (16):

624 – 629.

- [14] Lu J, Kim J, Nathan K, et al. Improving the efficiency of impossible differential cryptanalysis of reduced Camellia and MISTY1[A]. RSA 2008[C]. San Francisco, CA, USA, LNCS 4964, 2008. 370 – 386.

## 作者简介



黄永洪 男. 1974 年 5 月出生, 重庆永川人. 工程师. 2000 年获信息工程大学硕士学位. 研究方向为信息安全和电子证据.



郭建胜(通讯作者) 男. 1972 年 6 月出生, 河南沁阳人. 教授、博士生导师. 2004 年获解放军信息工程大学博士学位. 主要研究方向为信息安全.

E-mail: tsg\_31@126.com